

УДК 537.525+539.184

О ПРОЦЕССАХ ВОЗБУЖДЕНИЯ И РАЗРУШЕНИЯ УРОВНЕЙ ГЕЛИЯ В ПОЛОМ КАТОДЕ

И. Апостол, Ю. М. Каган, Р. И. Лягущенко, С. Н. Хворостовский и
М. А. Ходорковский

С помощью функции распределения электронов по энергиям в полом катоде в гелии, полученной ранее, проводится расчет заселенностей возбужденных состояний атома гелия с главными квантовыми числами $n=2, 3, 4$. Наблюдается удовлетворительное согласие рассчитанных и экспериментальных значений концентраций возбужденных атомов в диапазоне разрядных токов от 20 до 80 мА и давлений от 1 до 4 тор.

I. В работах [1, 2] была рассчитана функция $F(v)$, связанная с функцией распределения электронов по скоростям $f(v, r)$ в полом катоде соотношением

$$F(v) = \iiint f(v, r) d\omega dr. \quad (1.1)$$

Величина $v^2 F(v)$ дает число электронов с данным значением модуля скорости во всем объеме катодной полости для единичного интервала величины модуля скорости. Расчет позволял найти функцию $F(v)$ в интервале энергий $\varepsilon_1 \leq \varepsilon \leq \varepsilon_0$, где ε_1 — энергия, соответствующая потенциалу возбуждения первого возбужденного состояния атома, а ε_0 — энергия, соответствующая катодному падению. В работе [5] с помощью найденной таким образом функции $F(v)$ были рассчитаны для ряда уровней числа прямых возбуждений в полом катоде в Не и сравнены с измеренными интенсивностями линий. Сравнение показало, что помимо процессов прямого возбуждения в ряде случаев необходимо учитывать процессы ступенчатого возбуждения, а также процессы безызлучательного разрушения возбужденных состояний. В связи с этим в работах [3, 4] метод расчета $F(v)$ был расширен на область малых энергий в интервале 2—3 эВ $< \varepsilon \leq \varepsilon_0$. В настоящей работе с помощью рассчитанной таким образом функции проводится расчет заселенностей возбужденных состояний атома Не. Сравнение рассчитанных и экспериментальных данных проводится в диапазоне разрядных токов от 20 до 80 мА и давлений от 1 до 4 тор. Использованная разрядная трубка аналогична описанной в работе [4].

II. Формирование концентраций атомов Не на уровнях с $n=2, 3$ и 4 происходит в результате следующих процессов.

1. Прямое возбуждение уровней за счет столкновения электронов с нормальными атомами. Для расчета числа прямых возбуждений α_0 использовались сечения прямых возбуждений, приведенные в работах [6—12] и функция распределения электронов по энергиям, рассчитанная в работе [7].

Следует отметить, что величины сечений, приводимые разными авторами, отличаются в ряде случаев в несколько раз. Чтобы уменьшить связанный с этим дополнительную погрешность расчета, была проделана следующая процедура. С помощью работы [13] рассчитывались сечения прямого возбуждения синглетных уровней электронным ударом. Известно, что эти расчеты достаточно точно передают величину и ход сечения в зави-

симости от энергии электронов лишь при больших энергиях. Сравнение экспериментальных результатов с рассчитанными при энергии равной 500 эВ давало возможность выбрать такие экспериментальные сечения, которые наилучшим образом совпадают с рассчитанными при больших энергиях. Эти сечения использовались для расчета чисел прямых возбуждений.

2. Ступенчатое возбуждение при столкновении электронов с возбужденными атомами. Так как перевод атомов из состояния i в состояние k за счет столкновения с электронами приводит как к заселению верхнего состояния, так и разрушению нижнего состояния, то необходимо учитывать роль данного процесса в формировании концентрации атомов на обоих подуровнях.

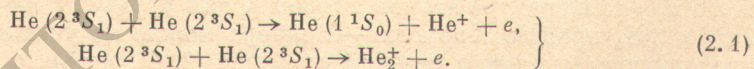
Для подуровней с $n=2$, как показывают оценки, можно пренебречь разрушением за счет ступенчатого возбуждения на уровнях с $n > 2$, а также разрушением за счет ступенчатой ионизации. В то же время при составлении уравнений баланса для концентрации атомов в состояниях с $n=2$ необходимо учитывать переходы между этими подуровнями за счет столкновения с электронами. Для подуровней с $n=3$ и 4 можно также не учитывать разрушение за счет ступенчатой ионизации и ступенчатого возбуждения на вышележащие уровни. Однако заселение данных подуровней за счет ступенчатого возбуждения с подуровней 2^3S_1 и 2^1S_0 играет существенную роль в формировании концентрации атомов в состояниях с $n=3$ и 4 во всем рассматриваемом диапазоне условий разряда.

Для расчета чисел ступенчатых возбуждений использовались сечения, полученные с помощью работы [13], а также функция распределения электронов по энергиям, рассчитанная в работах [1, 2].

3. Заселение в результате каскадных переходов. Этим процессом в формировании концентрации атомов на уровнях с $n=2, 3$ и 4, как показывают оценки, можно пренебречь.

4. Спонтанное излучение. Для расчета величины спонтанного излучения с уровня i на все нижележащие уровни, а также конкретного перехода атома из состояния i в состояние k использовалась работа [14], в которой приводятся таблицы вероятностей переходов, с помощью которых были получены соответственно $\sum_k A_{ik} = A'_{ik}$ и A_{ik} .

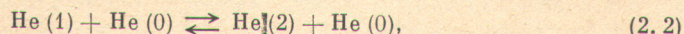
5. Диффузия возбужденных атомов к стенкам. Ее необходимо учитывать лишь для атомов, находящихся в метастабильных состояниях 2^3S_1 и 2^1S_0 . Для атомов, находящихся в состоянии 2^3S_1 , необходимо также учитывать процессы



Суммарная скорость реакции этих процессов K была взята из работы [15].

6. Удары второго рода возбужденных атомов с медленными электронами и атомами. При расчете концентрации атомов на уровнях с $n=3$ и 4 можно пренебречь ударами второго рода с электронами с переходом атома в основное состояние. Однако учет ударов второго рода электронов с возбужденным атомом, с переводом его в другое возбужденное состояние оказывается необходим для подуровней с $n=2$. Для уровней с $n=3$ и 4 этот процесс оказывается мал по сравнению с ударом второго рода возбужденных атомов с атомами, находящимися в нормальном состоянии, так как отношение концентраций нормальных атомов к концентрации электронов $\sim 10^5 \div 10^7$, а сечения как первого, так и второго процессов приблизительно одного порядка.

7. Процесс передачи возбуждения через основное состояние атома. Основным процессом перемешивания является передача возбуждения, которая имеет место при реакциях вида



где $\text{He} (1)$ и $\text{He} (2)$ — возбужденные уровни с близкими потенциалами возбуждения, $\text{He} (0)$ — основное состояние атома. Как показывает анализ работы [16], сечение реакции (2. 2) существенно зависит от разности энергий ΔE между начальным и конечным состоянием атома. В случае, если энергия относительного движения атомов $kT \ll \Delta E$, скорости реакций таких процессов близки к нулю. По этой причине в гелии выполняется следующее правило: этот процесс эффективен при $\Delta n = 0$ и $n \geq 3$. При этом процесс (2. 2) для подуровней с разной мультиплетностью практически не играет роли вследствие выполнения правила Вигнера. Перемешивание возбужденных состояний атома через основное состояние может происходить при $\Delta L = \pm 1; \pm 2, \dots$. В ряде случаев в литературе приводятся данные о сечении процесса $i \rightarrow k$, но отсутствуют данные о сечении обратных процессов. Можно показать, что скорости реакций этих процессов связаны соотношением

$$\langle \tilde{\sigma}_{ik} v \rangle = \frac{g_k}{g_i} \langle \tilde{\sigma}_{ki} v \rangle e^{-\Delta E/kT},$$

которое при $\Delta E/kT \ll 1$ упрощается и имеет вид

$$\langle \tilde{\sigma}_{ik} v \rangle \simeq \frac{g_k}{g_i} \langle \tilde{\sigma}_{ki} v \rangle. \quad (2.3)$$

Здесь g_i и g_k — статистические веса соответствующих уровней, $\Delta E = E_k - E_i$, T — температура атомов. В наших условиях температура газа была $T \approx 300$ К, поэтому для всех уровней с $n=3$ и 4 соотношение (2. 3) выполняется достаточно хорошо, за исключением S -уровней, для которых, как показывают оценки, этим процессом можно пренебречь.

В табл. 1 приведены значения сечений передачи возбуждения, которые были использованы нами при расчете концентрации атомов на уровнях с $n=3$ и 4. Сечения обратных процессов были получены с помощью соотношения (2. 3).

8. Процесс Хорнбека—Молнера



Процесс (2. 4) будет происходить, если суммарная энергия сталкивающихся атомов будет не меньше 23 эВ [17]. Эта величина определяется глубиной потенциальной ямы молекулярного иона гелия. Вследствие этого при температуре атомов $T \approx 300$ К для уровней с $n=2$ и подуровней 3^3S_1 и 3^1S_0 процесс Хорнбека—Молнера можно не учитывать. В табл. 1 представлены значения сечений процесса (2. 4), которые были использованы при расчете концентрации атомов на уровнях с $n=3$ и 4.

Таблица 1
Сечения безызлучательного разрушения возбужденных состояний

Сечения передачи возбуждения		Сечение процесса Хорнбека—Молнера	
переход	$\tilde{\sigma}_{ik} \cdot 10^{-16}$, см ²	уровень	$\tilde{\sigma}_{ix} \cdot 10^{-18}$, см ²
$3^1P - 3^1D$	25 [20]	4^1S	9.6 [21]
$3^3P - 3^3D$	0.07 [17]	4^3S	8 [21]
$3^3D - 3^3P$	4 [17]	3^1P	1.9 [22]
$4^1P - 4^1D$	80 [20]	3^1D	4.6 [22]
$4^1P - 4^1F$	230 [16]	4^1P	20 [24]
$4^1F - 4^1D$	470 [16]	4^1D	25 [24]
$4^3P - 4^3D$	9.9 [19]	3^3P	1.6 [23]
$4^3P - 4^3S$	3.5 [19]	3^3D	5 [23]

III. На основании изложенных выше соображений уравнения баланса для подуровней 2^3S_1 , 2^1S_0 , 3^3P_{012} , 2^1P_1 (N_1 , N_2 , N_3 и N_4 соответственные концентрации подуровней) можно представить в виде

$$\alpha_{01} + n_e N_2 \langle \sigma_{21} v \rangle + N_3 A_{31} = N_1 \left\{ \frac{1}{\tau_\theta^{(1)}} + n_e [\langle \sigma_{12} v \rangle + \langle \sigma_{14} v \rangle + \langle \sigma_{13} v \rangle] \right\} + N_1^2 K, \quad (3.1)$$

$$\alpha_{02} + n_e N_1 \langle \sigma_{12} v \rangle + N_4 A_{42} = N_2 \left\{ \frac{1}{\tau_\theta^{(2)}} + n_e [\langle \sigma_{21} v \rangle + \langle \sigma_{24} v \rangle + \langle \sigma_{23} v \rangle] \right\}, \quad (3.2)$$

$$\alpha_{03} + n_e N_1 \langle \sigma_{13} v \rangle + N_2 n_e \langle \sigma_{23} v \rangle = N_3 A_{31}, \quad (3.3)$$

$$\alpha_{04} + n_e N_1 \langle \sigma_{14} v \rangle + N_2 n_e \langle \sigma_{24} v \rangle = N_4 (A_{42} + A_{40}), \quad (3.4)$$

где n_e — концентрация электронов.

Решая эту систему, получим

$$N_1 = \frac{\gamma}{2K} \left(\sqrt{1 + \frac{\psi}{K} \left(\frac{2K}{\gamma} \right)^2} - 1 \right), \quad (3.5)$$

где

$$\begin{aligned} \gamma &= \left[\frac{1}{\tau_\theta^{(1)}} + n_e (\langle \sigma_{12} v \rangle + \langle \sigma_{14} v \rangle) \right] - \frac{n_e^2 \left(\langle \sigma_{12} v \rangle + \frac{\langle \sigma_{14} v \rangle}{2} \right) (\langle \sigma_{21} v \rangle + \langle \sigma_{23} v \rangle)}{\left[\frac{1}{\tau_\theta^{(2)}} + n_e \left(\langle \sigma_{21} v \rangle + \langle \sigma_{23} v \rangle + \frac{\langle \sigma_{24} v \rangle}{2} \right) \right]}, \\ \psi &= \alpha_{01} + \alpha_{03} + \left(\alpha_{02} + \frac{\alpha_{04}}{2} \right) \frac{n_e (\langle \sigma_{21} v \rangle + \langle \sigma_{23} v \rangle)}{\left[\frac{1}{\tau_\theta^{(2)}} + n_e \left(\langle \sigma_{21} v \rangle + \langle \sigma_{23} v \rangle + \frac{\langle \sigma_{24} v \rangle}{2} \right) \right]}, \\ N_2 &= \frac{\alpha_{02} + \frac{\alpha_{04}}{2} + N_1 n_e \left(\langle \sigma_{12} v \rangle + \frac{\langle \sigma_{14} v \rangle}{2} \right)}{\left[\frac{1}{\tau_\theta^{(2)}} + n_e \left(\langle \sigma_{21} v \rangle + \langle \sigma_{23} v \rangle + \frac{\langle \sigma_{24} v \rangle}{2} \right) \right]}. \end{aligned} \quad (3.6)$$

Зная N_1 и N_2 , можно найти N_3 и N_4 из уравнений (3.3) и (3.4), однако аналитическое выражение для них ввиду их еще большей громоздкости в настоящей работе не приводится. Для рассматриваемой задачи отношение $(\psi/K)(2K/\gamma)^2 < 1$, и поэтому выражение (3.5) с достаточной степенью точности можно записать, разложив корень в ряд Тэйлора и оставив только первые два члена разложения

$$N_1 \approx \frac{\psi}{\gamma}. \quad (3.7)$$

Экспериментально концентрация атомов на уровнях $n=2$ определялась по поглощению спектральных линий методом двух идентичных трубок. Для этой цели в разрядной трубке использовались секции, в каждой из которых находился полый катод диаметром 2 см и длиной 10 см. В качестве анодов служили коаксиально расположенные цилиндры диаметром 3 см. Так как расчет дает число возбуждений для всей области полого катода, то и уравнения баланса должны быть написаны для всей области. В эксперименте также должна находиться концентрация возбужденных атомов во всей области. Для этого проводились измерения радиального хода концентрации атомов в состояниях 2^3S_1 , 2^1S_0 , 2^3P_{012} и 2^1P_1 по поглощению линий 3889, 5016, 5876 и 6678 Å соответственно. Кривая поглощения для линии 3889 Å была взята из работы [18], для линии 5876 Å учет структуры рассчитывался аналогично. Полученный радиальный ход концентрации возбужденных атомов затем обрабатывался по методу, описанному в работе [15]. Сравнение экспериментальных и рассчитанных концентраций атомов на уровне с $n=2$, приведенных в табл. 2, позволяет сделать вывод, что согласие этих данных находится в пределах погрешностей эксперимента и расчета. Погрешности эксперимента в наших условиях составляют приблизительно $\pm 20\%$. Погрешности расчета определить гораздо труднее.

Таблица 2
Экспериментальные и теоретические значения концентраций атомов
в состояниях с $n=2$

i , мА	$N_2^3S_1 \cdot 10^{12}$				$N_2^1S_0 \cdot 10^{12}$				$N_2^3P \cdot 10^{10}$				$N_2^1P_1 \cdot 10^{10}$			
	P, тор															
	1	2	4	1	2	4	1	2	4	1	2	4	1	2	4	
20	4.4	9.3	10.2	0.84	0.93	0.87	3.1	4.0	2.2	2.2	3.1	2.5				
40	6.0	12	13	1.3	1.1	0.8	7.8	5.3	6.0	8.4	8.7	6.8				
80	8.1	15	17	1.6	1.4	0.85	16	12	9.4	17	22	9.3				

Экспериментальные значения

20	4.4	9.3	10.2	0.84	0.93	0.87	3.1	4.0	2.2	2.2	3.1	2.5
40	6.0	12	13	1.3	1.1	0.8	7.8	5.3	6.0	8.4	8.7	6.8
80	8.1	15	17	1.6	1.4	0.85	16	12	9.4	17	22	9.3

Теоретические значения

20	5.6	10.5	12	0.68	0.87	0.68	2.5	3.7	2.2	2.5	3.4	2.2
40	7.5	13.5	15	0.95	0.95	0.78	5.6	6.8	4.7	6.2	7.5	4.3
80	9.1	16.5	19	1.3	1.2	1	13	14	11	14	17	9.3

Они определяются главным образом погрешностями величин сечений, используемых для расчета чисел возбуждений.

При составлении уравнения баланса для нахождения концентрации атомов на уровнях 3^3S_1 и 3^1S_0 можно не учитывать процессы (2. 2) и (2. 4). В результате эти уравнения примут вид

$$\alpha_{0i} + \alpha_i^{\text{ст.}} = N_i A_{ik} = \frac{I_{ik}}{h\nu_{ik}}, \quad (3.8)$$

где I_{ik} — интенсивности линий, соответствующих переходам $3^3S_1 \rightarrow 2^3P$ и $3^1S_0 \rightarrow 2^1P_1$.

Систему уравнений баланса для концентрации атомов на уровнях 3^1P_1 и 3^1D_2 можно представить в виде

$$\left. \begin{aligned} \alpha_{01} + \alpha_1^{\text{ст.}} &= N_1 N_0 (\langle \tilde{\sigma}_{x_1} v \rangle + \langle \tilde{\sigma}_{21} v \rangle) - N_2 N_0 \langle \tilde{\sigma}_{21} v \rangle + N_1 A'_{1i}, \\ \alpha_{02} + \alpha_2^{\text{ст.}} &= N_2 N_0 (\langle \tilde{\sigma}_{x_2} v \rangle + \langle \tilde{\sigma}_{21} v \rangle) - N_1 N_0 \langle \tilde{\sigma}_{12} v \rangle + N_2 A'_{2i}. \end{aligned} \right\} \quad (3.9)$$

Решая эту систему относительно N_1 и N_2 , можно получить затем интенсивности линий 5016 и 6678 Å, соответствующих переходам $3^1P_1 \rightarrow 2^1S_0$ и $3^1D_2 \rightarrow 2^1P_1$.

Как видно из табл. 1, для уровня 3^3P необходимо учитывать процессы (2. 2) и (2. 4). Тогда уравнение баланса для уровня 3^3P примет вид

$$\alpha_{0i} + \alpha_i^{\text{ст.}} = N_i (A'_{ik} + N_0 [\langle \tilde{\sigma}_{x_i} v \rangle + \langle \tilde{\sigma}_{ik} v \rangle]). \quad (3.10)$$

Для уровня 3^3D разрушение за счет спонтанного перехода значительно больше, чем разрушение вследствие процессов (2. 2) и (2. 4), поэтому уравнение баланса для концентрации атомов в состоянии 3^3D имеет вид, аналогичный (3. 8).

На рис. 1 приведены величины экспериментальных и рассчитанных абсолютных интенсивностей линий для уровней с $n=3$. Интенсивности изменились обычным методом [5]. Сравнение экспериментальных и рассчитанных значений показывает, что их расхождение не превышает погрешности эксперимента $\pm 20\%$.

При составлении уравнений баланса для концентрации атомов на уровнях с $n=4$ необходимо учитывать, помимо процессов, перечисленных в разд. II данной работы, тот факт, что для этих уровней, по мнению некоторых авторов [19], имеет место нарушение правила Вигнера для F -подуровней. Таким образом, нельзя, как раньше для подуровней с $n=3$, рассматривать изолированно системы синглетных и триплетных подуровней. Однако сечение перемешивания для уровней ${}^3F \rightleftharpoons {}^1F$ меньше, чем

для уровней $F \rightleftharpoons D$, и по этой причине в настоящей работе системы синглетных и триплетных уровней считались независимыми. При расчете концентрации атомов на уровнях 4^1S_0 и 4^3S_1 , как указывалось выше, можно не учитывать процесс (2. 2), и тогда уравнение баланса примет простой вид

$$\alpha_{0i} + \alpha_{i\tau}^{ct} = N_i (A_{ik} + \langle \sigma_{x_i} v \rangle N_0). \quad (3.11)$$

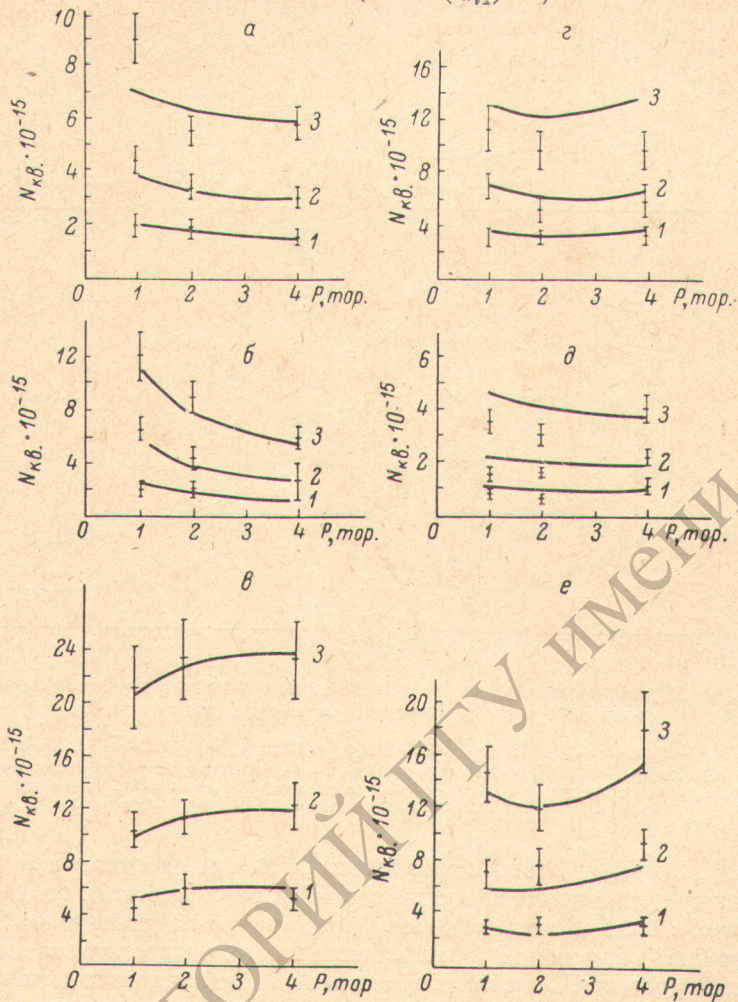


Рис. 1. Экспериментальные и теоретические зависимости чисел квантов, соответствующих переходам с подуровней $n=3$.

α — $3^1S_0 - 2^1P_1$, $\lambda = 7281 \text{ \AA}$; β — $3^1P_1 - 2^1S_0$, $\lambda = 5016 \text{ \AA}$; γ — $3^1D_2 - 2^1P_2$, $\lambda = 6678 \text{ \AA}$; δ — $3^3S_1 - 2^1P_{012}$, $\lambda = 7065 \text{ \AA}$; ε — $3^3P_{012} - 2^3S_1$, $\lambda = 3889 \text{ \AA}$; ε' — $3^3D_{123} - 2^1P_{012}$, $\lambda = 5876 \text{ \AA}$. Плавные кривые 1—3 соответствуют теоретическому расчету при разрядных токах 20, 40 и 80 мА, вертикальные отрезки соответствуют экспериментальным значениям.

Для нахождения концентрации атомов в состояниях 4^1P , 4^1D и 4^1F необходимо решать систему уравнений вида

$$\left. \begin{aligned} \alpha_{01} + \alpha_{1\tau}^{ct} &= N_1 [A'_{1i} + N_0 (\langle \sigma_{x_1} v \rangle + \langle \sigma_{12} v \rangle + \langle \sigma_{13} v \rangle)] - \\ &\quad - N_2 N_0 \langle \sigma_{21} v \rangle - N_3 N_0 \langle \sigma_{13} v \rangle, \\ \alpha_{02} + \alpha_{2\tau}^{ct} &= N_2 [A'_{2k} + N_0 (\langle \sigma_{x_2} v \rangle + \langle \sigma_{21} v \rangle + \langle \sigma_{23} v \rangle)] - \\ &\quad - N_3 N_0 \langle \sigma_{31} v \rangle - N_1 N_0 \langle \sigma_{12} v \rangle, \\ \alpha_{03} &= N_3 [A'_{3j} + N_0 (\langle \sigma_{31} v \rangle + \langle \sigma_{32} v \rangle)] - N_1 N_0 \langle \sigma_{13} v \rangle - N_2 N_0 \langle \sigma_{23} v \rangle, \end{aligned} \right\} \quad (3.12)$$

где индексы 1, 2 и 3 относятся соответственно к 4^1P -, 4^1D - и 4^1F -уровням. Число ступенчатых возбуждений и разрушение за счет процесса (2. 4)

4^1F -уровня не было рассчитано ввиду отсутствия в литературе данных о сечениях этих процессов.

Расчет концентрации на уровнях 4^3P , 4^3D и 4^3F затруднен отсутствием данных в литературе о сечениях элементарных процессов для этих уровней.

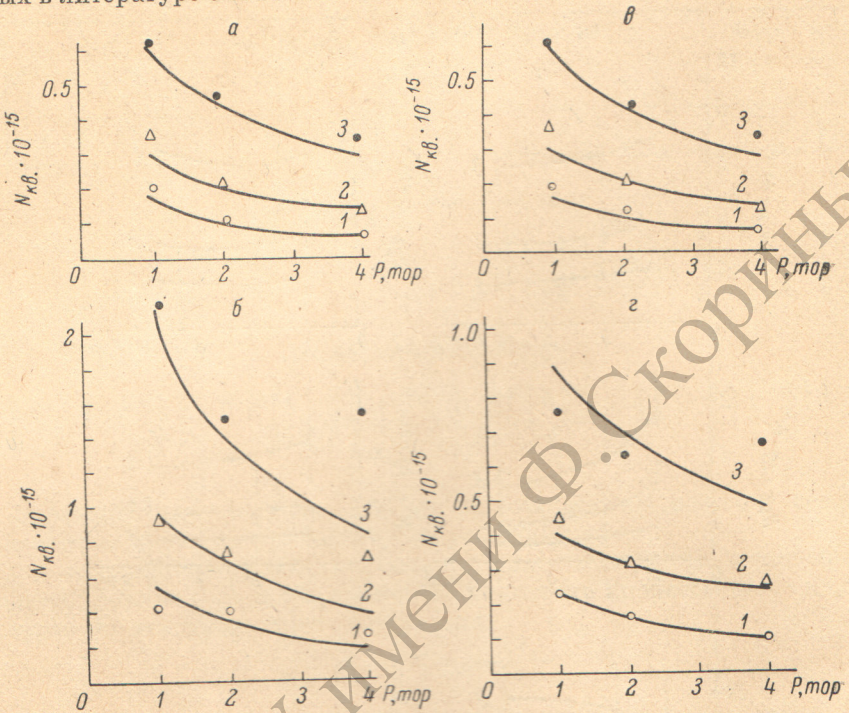


Рис. 2. Экспериментальные и теоретические зависимости чисел квантов, соответствующих переходам с подуровней с $n=4$.

a — $4^1P_1 - 2^1S_0$, $\lambda = 3964 \text{ \AA}$, б — $4^1D_2 - 2^1P_1$, $\lambda = 4922 \text{ \AA}$, в — $4^1S_0 - 2^1P_1$, $\lambda = 5048 \text{ \AA}$, г — $4^3S_1 - 2^3P_{0,1,2}$, $\lambda = 4713 \text{ \AA}$. Плавные кривые 1—3 соответствуют теоретическому расчету при разрядных токах 20, 40 и 80 мА; светлые и темные кружки, треугольники и квадраты — соответствующие экспериментальные значения.

На рис. 2 представлены экспериментальные и рассчитанные значения абсолютных интенсивностей линий с $n=4$. Сравнение этих величин показывает, что в большинстве случаев расхождение не превышает 20—30%, что может быть объяснено погрешностями как эксперимента, так и расчета. Однако для уровня 4^1D наблюдается различие полученных данных, достигающее двух раз, при максимальных давлениях и токе. При этом давлении по мере роста тока эта разница увеличивается. Такая же тенденция, но в меньшей степени наблюдается и для уровней 4^1P и 4^3S .

К вопросу об этих расхождениях и о поведении более высоких уровней мы надеемся вернуться в следующей работе.

Литература

- [1] Ю. М. Каган, Р. И. Лягушенко, С. Н. Хворостовский. ЖТФ, 42, 1986, 1972.
- [2] Ю. М. Каган, Р. И. Лягушенко, С. Н. Хворостовский. ЖТФ, 43, 1988, 1973.
- [3] Ю. М. Каган, Р. И. Лягушенко, С. Н. Хворостовский, М. А. Ходорковский. ЖТФ, 45, 1834, 1975.
- [4] Ю. М. Каган, Р. И. Лягушенко, С. Н. Хворостовский, М. А. Ходорковский. ЖТФ, 45, 1839, 1975.
- [5] Ю. М. Каган, Р. И. Лягушенко, С. Н. Хворостовский. Опт. и спектр., 35, 422, 1973.
- [6] R. M. St. John, J. D. Jobe. Phys. Rev., 164, 117, 1967.
- [7] И. П. Запесочный. Астрофиз. ж., 43, 954, 1966.
- [8] V. Gertmak. J. Chem. Phys., 44, 3774, 1966.
- [9] Н. К. Кротков, R. Holt. Phys. Rev., 144, 82, 1966.

- [10] R. M. St. John, F. Miller, C. C. Lin. Phys. Rev., A134, 888, 1964.
- [11] И. П. Запесочный, Д. И. Фельпан. Укр. физ. ж., 10, 197, 1965.
- [12] В. Е. Яхонтова. Вестн. ЛГУ, 10, 27, 1959.
- [13] Л. А. Вайнштейн, И. И. Собельман, Е. А. Юков. Сечения возбужденных атомов и ионов электронами. «Наука», М., 1973.
- [14] N. L. Wiese, M. W. Smith, B. M. Miles. Atomic Transition Probabilities, I, Nat. Bur. Stand., 1969.
- [15] А. Благоев. Автореф. канд. дисс., Л., 1974.
- [16] R. M. St. John, J. D. Jobe. Phys. Rev., A, 5, 1, 295, 1972.
- [17] H. F. Wellenstein, W. W. Robertson. J. Chem. Phys., 56, 1072, 1972.
- [18] А. Тароян. Автореф. канд. дисс., Л., 1973.
- [19] R. L. Abrams, G. J. Wolga. Phys. Rev. Letters, 19, 25, 1411, 1962.
- [20] Ю. З. Ионих, С. Э. Фриш. Опт. и спектр., 25, 171, 1968.
- [21] Г. С. Кватер, О. В. Огинец, В. Б. Смирнов, С. А. Багаев. Опт. и спектр., 35, 389, 1973.
- [22] M. P. Teter, F. E. Niles, W. W. Robertson. J. Chem. Phys., 44, 8, 3018, 1966.
- [23] H. F. Wellenstein, W. W. Robertson. J. Chem. Phys., 56, 1411, 1972.
- [24] K. A. Brigett, T. A. King. J. Phys., E3, 767, 1970.

Поступило в Редакцию 5 апреля 1976 г.